

**Тема: Разностные схемы методы опорных операторов (МОО)  
для тепловых процессов.**

**Аннотация**

Построение интегрально-согласованных сеточных операций DIV и GRAD для аппроксимации тепловых процессов на нерегулярных сетках. Самосопряженность и знакоопределенность повторной операции DIV GRAD. Сходимость разностных схем МОО для уравнения Пуассона на классических решениях. Аппроксимация тепловых процессов с учетом разрывности материальных свойств среды.

**Метрические сетки метода опорных операторов для описания тепловых процессов**

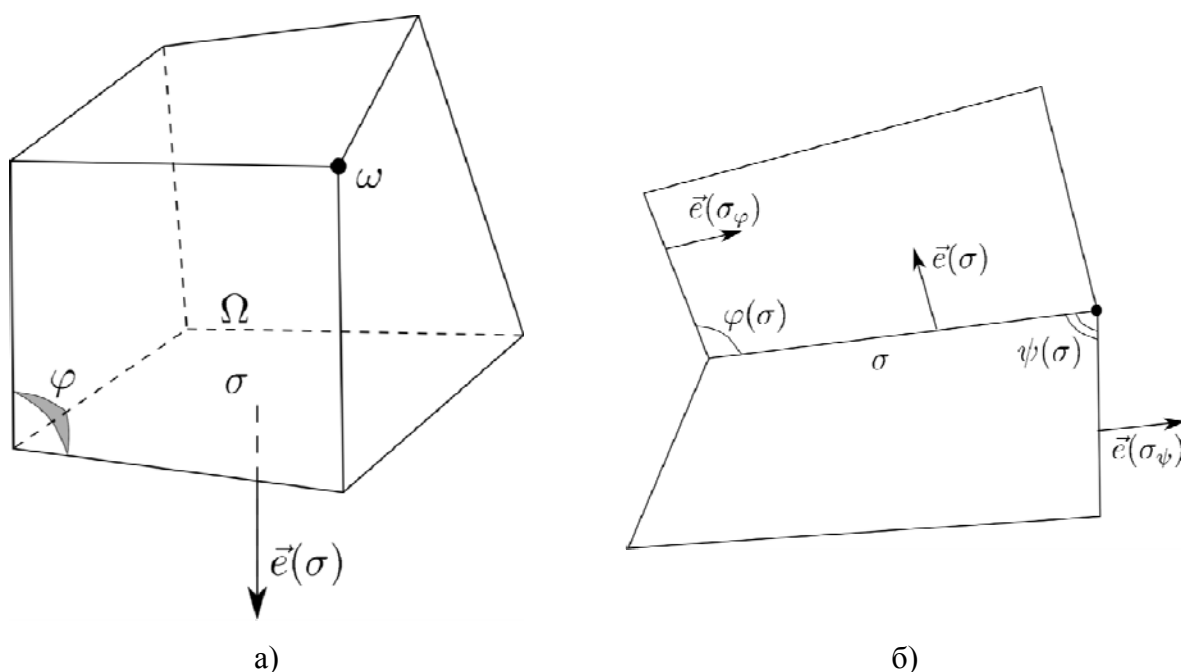


Рис. 1. Ячейка квазирегулярной сетки

Сетки такого типа состоят из ячеек ( $\Omega$ ), образованных узлами ( $\omega$ ) и гранями ( $\sigma$ ) (см. Рис. 1а). Узлам  $\omega(\Omega)$ , образующим ячейку  $\Omega$ , соответствуют базисы  $\varphi(\Omega)$  в этой ячейке, состоящие из единичных нормалей  $\vec{e}(\sigma)$  к граням  $\sigma$ , образующим базис. Метрическая калибровка разностной сетки состоит в выборе объемов базисов  $V_\varphi > 0$  с естественным условием нормировки  $\sum_{\varphi(\Omega)} V_\varphi = V_\Omega$ . Т.е. сумма базисных объемов внутри

ячейки  $\Omega$  равна объему этой ячейки  $V_\Omega$ . Например, для 2d-четырёхугольной сетки  $V_\varphi = \frac{1}{2}S_\varphi$ , где  $S_\varphi$  - площадь треугольника, соответствующего базису  $\varphi$ . Компоненты напряженности гравитационного поля будем относить к сетке  $(\sigma).(\varphi)$ , состоящей из граней  $\sigma$  с нормальными к ним  $\vec{e}(\sigma)$ , упорядоченными в систему локальных базисов  $(\varphi)$ . Сетка считается квазирегулярной (см. Рис. 1б) с порядком регулярности  $h^m$ , если для любого ее индекса  $\sigma$  и любых прилежащих к нему базисов  $\varphi(\sigma), \psi(\sigma)$  существует взаимно-однозначное соответствие  $\sigma_\varphi \leftrightarrow \sigma_\psi$  входящих в эти базисы индексов, так что в некоторой норме справедливо равенство:

$$\|\vec{e}(\sigma_\varphi) - \vec{e}(\sigma_\psi)\| = O(h^m) \quad (1)$$

здесь  $h$  - параметр малости на сетке.

Введем сеточное скалярное произведение

$$(\bar{h}_1, \bar{h}_2)_\sigma = \sum_{\varphi} V_\sigma \bar{h}_1(\varphi) \bar{h}_2(\varphi) \quad (2)$$

с весом  $V_\sigma = \sum_{\varphi(\sigma)} V_\varphi > 0$ , понимаемым как пригранный объем.

Скалярное произведение  $\int_O (\vec{h}, \vec{g}) dV$  в области  $O$  аппроксимируется сеточным

аналогом

$$(\bar{h}, \bar{g}')_\sigma = \sum_{\varphi} V_\varphi \sum_{\sigma(\varphi), \tilde{\sigma}(\varphi)} Gr_\varphi(\sigma, \tilde{\sigma}) \bar{h}(\sigma) \bar{g}'(\tilde{\sigma}). \quad (3)$$

Здесь

$$g'(\sigma) = \frac{1}{V_\sigma} \sum_{\varphi(\sigma)} V_\varphi \sum_{\tilde{\sigma}(\varphi)} Gr_\varphi(\sigma, \tilde{\sigma}) \bar{g}'(\tilde{\sigma}) \quad (4)$$

или в операторной форме

$$g' = H \bar{g}. \quad (5)$$

Таким образом на сетке  $(\sigma).(\varphi)$  мы ввели самосопряженный положительно определенный метрический сеточный оператор  $H : (\sigma) \rightarrow (\sigma)$ ,  $H = H^* > 0$ , задаваемый матрицами Грама в локальных базисах  $Gr_\varphi(\sigma, \tilde{\sigma}) = (\vec{e}(\sigma), \vec{e}(\tilde{\sigma}))$  и переводящий сеточный аналог контравариантного представления  $\bar{g}(\sigma)$ , понимаемого

нами как представление в среднем, в сеточный ковариантный аналог  $g'(\sigma)$ , называемый сопряженным представлением векторного поля  $\vec{g}$ .

### Ковариантное представление сеточного скалярного произведения на сетке $(\sigma).(\varphi)$

Наряду со скалярным произведением, рассмотренным выше, аппроксимирующим интеграл  $\int_0 (\vec{h}, \vec{g}) dV$ , рассмотрим на сетке  $(\sigma).(\varphi)$  также ковариантное представление сеточного скалярного произведения

$$(\vec{h}, \vec{g})_\sigma = \sum_\varphi V_\varphi \sum_{\sigma(\varphi), \tilde{\sigma}(\varphi)} Gr'_\varphi(\sigma, \tilde{\sigma}) \vec{h}'(\tilde{\sigma}) g'(\sigma). \quad (6)$$

Здесь

$$\vec{h}(\sigma) = \frac{1}{V_\sigma} \sum_{\varphi(\sigma)} V_\varphi \sum_{\tilde{\sigma}(\varphi)} Gr'_\varphi(\sigma, \tilde{\sigma}) \vec{h}'(\tilde{\sigma}) \quad (7)$$

или в операторной форме

$$\vec{h} = G \vec{h}'. \quad (8)$$

Таким образом на сетке  $(\sigma).(\varphi)$  введен самосопряженный положительно определенный метрический сеточный оператор  $G : (\sigma) \rightarrow (\sigma)$ ,  $G = G^* > 0$  задаваемый семейством базисных матриц Грамма  $Gr'_\varphi(\sigma, \tilde{\sigma}) = (\vec{e}'_\varphi(\sigma), \vec{e}'_\varphi(\tilde{\sigma}))$ . В этих матрицах  $\vec{e}'_\varphi(\sigma)$  - взаимные (контравариантные) в локальных базисах  $\varphi$  орты по отношению к исходным (ковариантным) нормальям  $\vec{e}(\sigma)$  к граням  $\sigma$ . К сетке  $(\sigma).(\varphi)$  с метрическим оператором  $G$  в дальнейшем будем относить также компоненты напряженности магнитного поля  $\vec{h}$ .

### Дискретная тепловая модель.

Определим разностную дивергенцию  $DIV : (\sigma) \rightarrow (\Omega)$  по формуле:

$$DIV \vec{g} = \frac{1}{V_\Omega} \sum_{\sigma(\Omega)} s_\sigma(\Omega) g'(\sigma) s(\sigma) \quad (9)$$

и скалярное произведение в ячейках

$$(F_1, F_2)_\Omega = \sum_{\Omega} V_{\Omega} F_{1\Omega} F_{2\Omega}. \quad (10)$$

Здесь  $s(\sigma)$  - площадь грани  $\sigma$ .  $s_{\sigma}(\Omega)$  - знаковая функция, равная единице, если нормаль  $\vec{e}(\sigma)$  для ячейки  $\Omega$  внешняя и минус единице наоборот.

Далее, для области  $O$ , ограниченной поверхностью  $\Sigma$ , моделируя интегральное соотношение

$$\int_O \text{grad } F \vec{h} dV + \int_O F \text{div} \vec{h} dV = \int_{\Sigma} F \vec{h} d\vec{s}, \quad (11)$$

определим разностный оператор  $GRAD: (\Omega) \rightarrow (\sigma)$  из тождества

$$(\overline{GRAD F}, \vec{h}')_{\sigma} + (F, DIV \vec{h})_{\Omega} = \sum_{\partial\sigma} s_{\partial\sigma} F_{\partial\sigma} \vec{h}'(\partial\sigma) s(\partial\sigma). \quad (12)$$

Здесь для граничной грани  $\partial\sigma$   $s(\partial\sigma)$  - ее площадь  $s_{\partial\sigma}$  - единица, если нормаль  $\vec{e}(\partial\sigma)$  - внешняя к аппроксимации области  $O$ . Наконец,  $F_{\partial\sigma}$  - температура на этой граничной грани. Подчеркнем, что  $F$  и  $\vec{h}' = H\vec{h}$  здесь, вообще говоря, любые сеточные функции. Отсюда на грани  $\sigma$

$$\overline{GRAD F} = \frac{\Delta F}{h'}, \quad (13)$$

где

$$\Delta F = - \sum_{\Omega(\sigma)} s_{\sigma(\Omega)} F_{\Omega} + s_{\partial\sigma} F_{\partial\sigma}. \quad (14)$$

Второе слагаемое в приращении температуры через грань здесь существует, если эта грань граничная

$$h' = \frac{V_{\sigma}}{s(\sigma)} \quad (15)$$

На граничных гранях  $\partial\sigma = \{\partial_1\sigma | \partial_0\sigma\}$  считается заданной величина  $F_{\partial_1\sigma}$  - первая краевая задача, или ее поток  $GRAD F'(\partial_0\sigma)$  - неймановское граничное условие. Оператор  $DIV GRAD: (\Omega) \rightarrow (\Omega)$ , т.ч.  $-DIV GRAD = (-DIV GRAD)^* \geq 0$  оказывается при этом самосопряженным и неотрицательным согласно (27) в смысле скалярного произведения (25). Аналогично свойствами самосопряженности и неотрицательности обладает оператор  $-GRAD DIV: (\sigma) \rightarrow (\sigma)$ .

## Литература

- 1) Samarskii AA, Koldoba AV, Poveshchenko YuA, Tishkin VF, Favorsky AP. Different Schemes on the Non-regulated Grids. Criterion; 1996. [In Russian].
- 2) Lipnikov K, Manzini G, Shashkov M. Mimetic finite difference method. J Comput Phys. 2013;257:1163-1227.
- 3) [Poveshchenko](https://onlinelibrary.wiley.com/journal/10991476) YuA, Podryga VO, Rahimly OR. On some integral - consistent methods for calculating magnetohydrodynamic phenomena in problems of computational astrophysics. Mathematical Methods in the Applied Sciences / Volume 43, Issue 13 <https://onlinelibrary.wiley.com/journal/10991476>
- 4) Повещенко Ю.А., Подрыга В.О., Шарова Ю.С., Интегрально-согласованные методы расчета самогравитирующих и магнитогидродинамических явлений // Препринты ИПМ им. М.В. Келдыша. – 2018. – № 160. – 21 с. DOI:10.20948/prepr-2018-160
- 5) Колдоба А.В., Повещенко Ю.А., Гасилова И.В., Дорофеева Е.Ю. Разностные схемы метода опорных операторов для уравнений теории упругости // Математическое моделирование, 2012, том 24, N12, с. 86-96.
- 6) Повещенко Ю.А., Круковский А.Ю., Подрыга В.О., Головченко Е.Н., Разностные схемы метода опорных операторов для уравнений упругости с азимутальным вращением // Препринты ИПМ им. М.В. Келдыша. – 2019. – № 10. – 36 с. DOI:10.20948/prepr-2019-10
- 7) Koldoba AV, Pergament AKh, Poveshchenko YuA, Simus NA. Porous media strain-stressed state occasioned by fluid injection 1999; 11(10):3-16. [In Russian].
- 8) Повещенко Ю.А., Гасилов В.А., Подрыга В.О. Двухслойные полностью консервативные разностные схемы для уравнений газовой динамики в эйлеровых переменных с адаптивной регуляризацией решения. Дифференциальные уравнения, издательство МАИК, 2019, том 55, N 7, с. 1009-1022.
- 9) Повещенко Ю.А., Ладонкина М.Е., Подрыга В.О., Рагимли О.Р., Шарова Ю.С., Об одной двухслойной полностью консервативной разностной схеме газовой динамики в эйлеровых переменных с адаптивной регуляризацией решения // Препринты ИПМ им. М.В. Келдыша. – 2019. – № 14. – 23 с. DOI:10.20948/prepr-2019-14
- 10) Попов Ю.В., Фрязинов И.В. Метод адаптивной искусственной вязкости численного решения уравнений газовой динамики. М.: Красанд, 2015.
- 11) Колдоба А.В., Повещенко Ю.А., Самарская Е.А., Тишкин В.Ф. Методы математического моделирования окружающей среды. М.: Наука, 2000, 254 с,
- 12) Poveshchenko YuA, Rahimly P.I., Rahimly O.R., Podryga V.O., Gasilova I.V. A Numerical Approach to Study the Thermal Influence on Gas Hydrates by Physical

Process Splitting // International Journal of Numerical Analysis and Modeling. – 2020. – V. 17, №3. – P. 404–433.

- 13) Рагимли П.И., Повещенко Ю.А., Подрыга В.О., Рагимли О.Р., Попов С.Б. Моделирование процессов совместной фильтрации в талой зоне и пьезопроводной среде с газогидратными включениями // Препринты ИПМ им. М.В. Келдыша. – 2018. – № 40. – 32 с. DOI:10.20948/prepr-2018-40

#### **Дополнительная литература**

- 1) А.Н.Тихонов, А.А.Самарский. Уравнения математической физики. М.: Наука,
- 2) А.А. Самарский. Теория разностных схем. М.: Наука, 1990.